

エアカーテンによる上昇流の発生に関する研究

中 村 充*

1. まえがき

エアカーテンに関しては空気防波堤として栗原らの研究がある。筆者らがこのテーマを取り上げた理由はエアカーテンが、水産および河口水資源にとって重要な工法であることによる。現在予想している応用分野は以下のようである。(1) 上昇流の発生によって表層水と底層水の混合拡散をはかり水産水質を改良保全する、(2) 空気の溶入による溶存酸素量の増大、(3) 流速の鉛直分布の制御(水産物の卵、幼生時代には表層に分布するものが多いので表層流の制御に利用できる)、(4) 河口における躍層を破壊して強混合型とし塩分過疎化を抑止する。(5) 空気防波堤として防波する、その他がある。この報告はこれら一連の研究のうち上昇流の発生に関するものである。

2. 実験装置と実験方法

実験水槽は長さ 35 m、深さ 1.2 m、幅 1.5 m のものを幅 0.6 m 2 列に分割し両端を通して循環水路としたもので、1 端より 10 m の位置の水路底に気泡発生筒が 6 本平行に設置できるようにしてある。気泡発生筒は内径 48 mm 外径 60 mm の塩化ビニールの筒で、これに次の 5 種の直径 (ϕ) の空気噴出小孔が設けられている。

$\phi=1 \text{ mm}$,	中心間隔 4.5 mm
$\phi=2 \text{ mm}$,	" 6.5 mm
$\phi=3 \text{ mm}$,	" 10 mm
$\phi=5 \text{ mm}$,	" 18 mm
$\phi=10 \text{ mm}$,	" 27 mm

これら気泡筒は、それぞれ 1~6 本、中心間隔 20 cm に設置される。送風機は 15 kW たて型コンプレッサーを行い、風量 6~120 m³/hr の間で実験を行なった。観測計器は超音波流速計を用い、2 方向成分を自動平衡型ペンレコーダーに記録させた。

実験条件を表-1 に示す。

観測は気泡柱の中心から両側に 50, 100, 150, 250, 350, 550, 750, 1,000 cm の位置で、鉛直方向に 5 cm 間隔で流速の測定を行なった。測定開始の

時刻は十分流況が定常化した後(約 20 分以上)に行なった。

表-1 実験条件

実験条件	種類							
水深 $h \text{ cm}$	70	85			100			
風量 $Q_a' \text{ m}^3/\text{hr}/0.6 \text{ m}$	15	20	25	35	50	70	90	100
気泡筒本数(本)	1	2	3					
気泡発生幅 $B \text{ cm}$	6	26	46					

3. 実験結果

観測された流況の一例を図-1 に示す。エアカーテンによって誘起された上昇流は上層で水平流に変じ、下層はエアカーテンに向う流れとなり上層は離れる流れとなる。水平流向の反転する深さを摩擦深度と呼んでその上下の流況を対象とする。図-2 は摩擦深度およびその上下層の流量、流速の一例を示す。図中には表面から摩擦深度まで、摩擦深度から底面までの流量およびおのおのの区間の平均流速が示してある。各観測断面区間での連続条件の不成立の程度は流速観測の誤差の程度を示すことになる。摩擦深度は図-2 に見るようにエアカーテンのごく近傍を除きほぼ一様な水深に生じているので、この平均値を f_d とし、 f_d と水深 h の比が各種の水深 h 、風量 Q_a' 、気泡孔径 ϕ 、カーテン厚さ B とどのように関係するかを図示すると 図-3~図-5 のようになる。これら f_d/h は Q_a' の増加とともに減少し表層に流れが集中することがわかる。また h 、 ϕ との関係は少なく、 B との関係は B の大きいほど大きいことがわかる。

表面から摩擦深度までの水平流速の平均を u_1 とし、 u_1 と Q_a' 、 h 、 ϕ 、 B との関係を示したもののが図-6~図-12 である。エアカーテンの中心からの距離 x による流

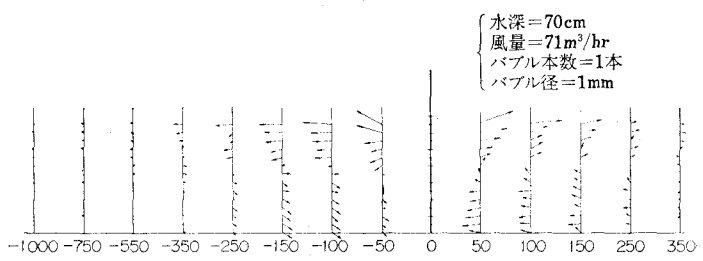


図-1 エアカーテンによる流速ベクトルの例

*正会員 農博 農林省農業土木試験場 海岸研究室長

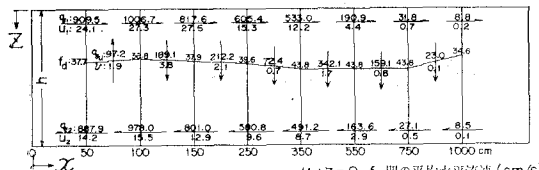


図-2 エアカーテンによる流況例

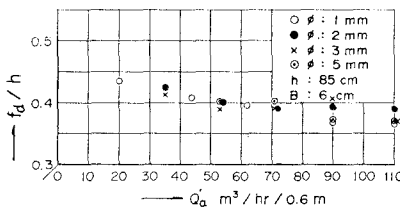


図-3 気泡孔径別の摩擦深度と風量

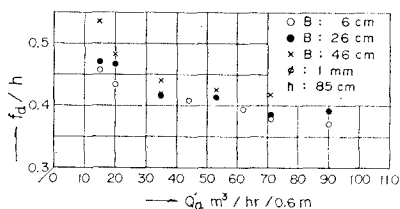


図-4 エアカーテン厚さ別の摩擦深度と風量

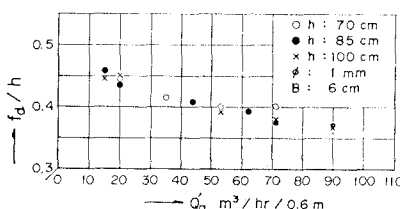


図-5 水深別の摩擦深度と風量

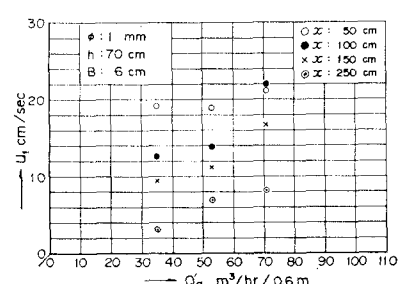


図-6 風量と上層平均流速

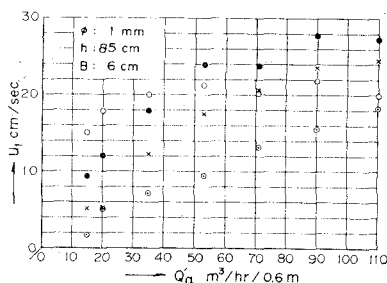


図-7 風量と上層平均流速

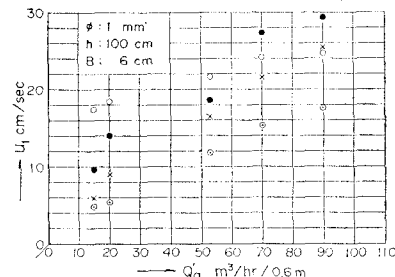


図-8 風量と上層平均流速

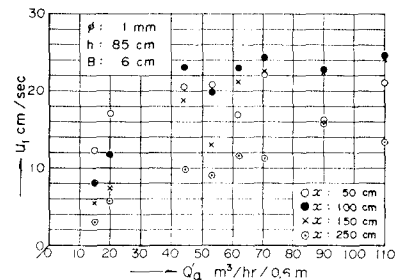


図-9 風量と上層平均流速

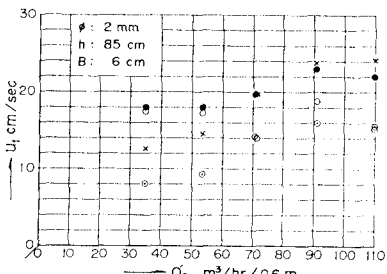


図-10 風量と上層平均流速

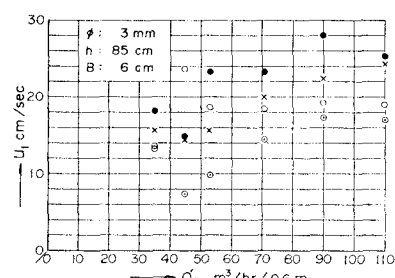


図-11 風量と上層平均流速

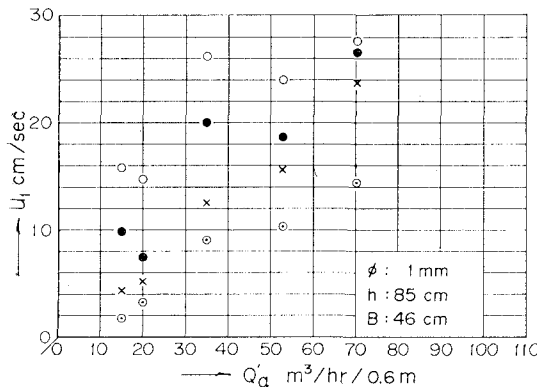


図-12 風量と上層平均流速

速の変化は Q_a' が大になると最大流速の発生位置がカーテンから遠ざかる。水平流速の減衰については後述する。

4. 理論的考察

気泡群の上昇によって近傍水塊の上昇流が発生する。したがって上昇流を解析するには、気泡とこのまわりの水との間の抗力、粘着力を考慮しなければならない。しかし上昇流は上層および下層水平流となり、この水平流はエアカーテン部の圧力分布と水平流に転じた断面での圧力分布によって検討される。水平流が解析されれば図-2 のように上昇流も求められる。

(1) 摩擦深度 f_d の解析

図-13 に示す水理模式図を用いて考察する。気泡の上昇に伴って気泡は分散する。その分布の形状は図-14 の写真に見るように上昇距離に比例して直線的に拡がる。このことは栗原らの研究でも求められている。

図-13 から

$$B_z = B + 2(h - z) \tan \theta \quad \dots \dots \dots (1)$$

したがって z なる深さの容気率 γ_a は

$$\gamma_a = \frac{Q_a}{B_z V_0} \frac{h_0}{h_0 + z} \quad \dots \dots \dots (2)$$

ここに、 θ : 気泡群の拡がりの線と鉛直線との角、 V_0 : 気泡の上昇速度、 Q_a : 気泡発生筒の単位長さ、単位時間当たりに噴出する空気量(1気圧換算値)、 h_0 : 1気圧を水柱で表わした値。よってエアカーテン中央部の見掛けの比重 σ_z' は、

$$\sigma_z' = 1 - \frac{Q_a h / V_0}{\{B + 2(h - z) \tan \theta\} (h_0 + z)} \quad \dots \dots \dots (3)$$

よって、エアカーテン中央断面(I-I断面)の z なる点の圧力 p_c は

$$p_c = \int_{-A h}^z w \sigma_z' dz \\ = w \left[(z + A h) + K \ln \frac{\{B + 2(h - z) \tan \theta\} (h_0 - A h)}{\{B + 2(h + A h) \tan \theta\} (h_0 + z)} \right] \quad \dots \dots \dots (4)$$

ここに、

$$K = \frac{Q_a h}{V_0 \{B + 2(h + h_0) \tan \theta\}} \quad \dots \dots \dots (5)$$

式中、 w : 水の密度、 $A h$: 気泡群の作る水面の盛り上がり高さ。

気泡の存在しない II-II 断面における圧力分布は

$$p = w z \quad \dots \dots \dots (6)$$

摩擦深度 f_d は $p_c = p$ として求まり、

$$\frac{f_d}{h} = \left[\left(\frac{B}{2 h \tan \theta} + 1 \right) \left(\frac{h_0}{h} - \frac{A h}{h} \right) \exp \left(\frac{A h}{K} \right) - \frac{h_0}{h} \left(\frac{B}{2 h \tan \theta} + 1 + \frac{A h}{h} \right) \right] / \left[\frac{B}{2 h \tan \theta} + 1 + \frac{A h}{h} + \left(\frac{h_0}{h} - \frac{A h}{h} \right) \exp \left(\frac{A h}{K} \right) \right] \quad \dots \dots \dots (7)$$

ここで

$$V_0 = c_1 \sqrt{g \phi}$$

$$A h = c_2 h \ll h$$

であるから

$$\frac{A h}{K} = \frac{\sqrt{g \phi} h}{Q_a} \left\{ \frac{B}{h} + 2 \left(1 + \frac{h_0}{h} \right) \tan \theta \right\} c_0 \quad \dots \dots \dots (8)$$

式(7), (8) から f_d/h の元方程式は

$$\frac{f_d}{h} = F \left(\frac{\sqrt{g \phi} h}{Q_a}, \frac{B}{h}, \frac{h_0}{h} \right) \quad \dots \dots \dots (9)$$

となる。

また一般に $A h/h \ll 1$ であるから、

式(7) は次のようになる。

$$\frac{f_d}{h} = \left. \begin{aligned} & \frac{h_0}{h} \left(\frac{B}{2 \tan \theta} + 1 \right) (\exp \alpha - 1) \\ & \frac{B}{2 h \tan \theta} + 1 + \frac{h_0}{h} \exp \alpha \end{aligned} \right\} \quad \dots \dots \dots (10)$$

$$\alpha = \frac{A h}{K}$$

式(9) によって実験値をまとめると 図-15 となり、図-15 を計算図表としてまとめると 図-16 のようになる。

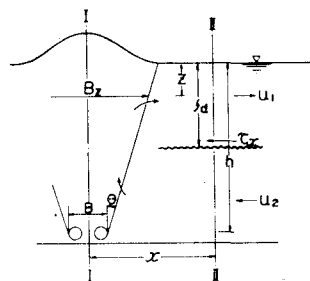


図-13 水理模式図

(2) エアカーテン近傍の水平流速の解析

エアカーテンの近傍で、上昇流の影響のない程度、すなわち上昇流が水平流に転じた直後で、かつこの間での摩擦深度面における粘性抵抗の影響の無視できる程度の

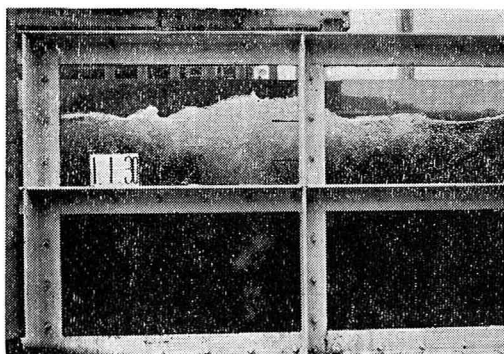


図-14 実験写真

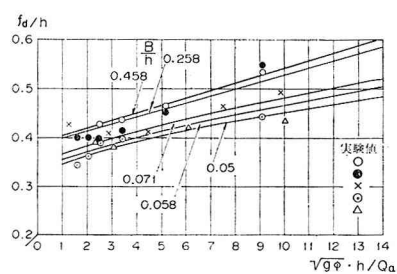


図-15 摩擦深度と風量、水理量

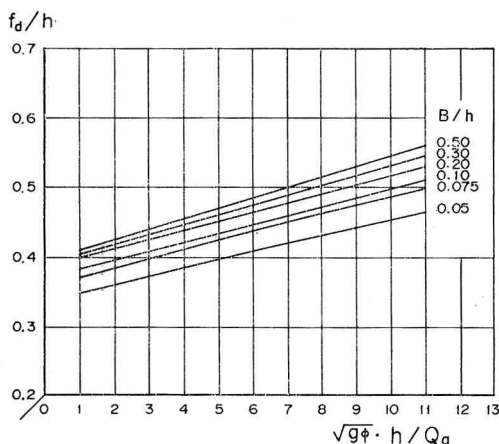


図-16 摩擦深度と風量、水理量

距離の鉛直断面について考える(Ⅱ～Ⅱ断面)。図-13のI-I, II-II断面の $z=0 \sim f_d$ 区间に運動量法則を適用する。圧力分布は式(4), (6)で与えられるから

$$\int_0^{f_d} (p_c - p) dz = -\frac{w u_1^2}{g} f_d \quad \dots \dots \dots (11)$$

ここに左辺は

$$\begin{aligned} & \int_0^{f_d} (p_c - p) dz = w \int_0^{f_d} \Delta h \\ & + K \ln \frac{B + 2(h-z) \tan \theta}{B + 2(h+\Delta h) \tan \theta} - K \ln \frac{h_0 + z h}{h_0 - \Delta h} \Big] dz \\ & = w \left[\Delta h f_d + K \left\{ - \left(h + \frac{B}{2 \tan \theta} - f_d \right) \right. \right. \\ & \times \ln \left. \frac{h + B/2 \tan \theta - f_d}{h + B/2 \tan \theta + \Delta h} + \left(h + \frac{B}{2 \tan \theta} \right) \right] \end{aligned}$$

$$\begin{aligned} & \times \ln \frac{B/2 \tan \theta + h}{h + B/2 \tan \theta + \Delta h} - (h_0 + f_d) \\ & \times \ln \left. \frac{h_0 + f_d}{h_0 - \Delta h} + h_0 l_n \frac{h_0}{h_0 - \Delta h} \right\} \Big] \end{aligned}$$

よって式(11)から

$$\begin{aligned} \frac{u_1}{\sqrt{gh}} &= \left[\frac{\Delta h}{h} + \frac{K}{f_d} \left\{ \left(1 + \frac{1}{2 \tan \theta} \frac{B}{h} \right) \right. \right. \\ & \times \ln \frac{1 + \frac{1}{2 \tan \theta} \frac{B}{h}}{1 + \frac{1}{2 \tan \theta} \frac{B}{h} + \frac{\Delta h}{h}} \\ & \left. \left. - \left(1 + \frac{1}{2 \tan \theta} \frac{B}{h} - \frac{f_d}{h} \right) \right. \right. \\ & \times \ln \frac{1 + \frac{1}{2 \tan \theta} \frac{B}{h} - \frac{f_d}{h}}{1 + \frac{1}{2 \tan \theta} \frac{B}{h} + \frac{\Delta h}{h}} - \left(\frac{h_0}{h} + \frac{f_d}{h} \right) \\ & \times \ln \left. \frac{\frac{h_0}{h} + \frac{f_d}{h}}{\frac{h_0}{h} - \frac{\Delta h}{h}} + \frac{h_0}{h} \ln \frac{\frac{h_0}{h}}{\frac{h_0}{h} - \frac{\Delta h}{h}} \right]^{1/2} \quad \dots \dots \dots (12) \end{aligned}$$

$$\frac{K}{f_d} = \frac{Q_a}{\sqrt{g \phi h}} \cdot \frac{c_1}{h} \left\{ \frac{B}{h} + 2 \left(1 + \frac{h_0}{h} \right) \tan \theta \right\} \quad \dots \dots \dots (13)$$

一般に $\frac{\Delta h}{h} \ll 1$

このとき式(12)は

$$\begin{aligned} \frac{u_1}{\sqrt{gh}} &= \left[c_2 + \frac{K}{f_d} \left\{ - \left(1 + \frac{1}{2 \tan \theta} \frac{B}{h} - \frac{f_d}{h} \right) l_n \right. \right. \\ & \times \ln \frac{1 + \frac{1}{2 \tan \theta} \frac{B}{h} - \frac{f_d}{h}}{1 + \frac{1}{2 \tan \theta} \frac{B}{h}} \\ & \left. \left. - \left(\frac{h_0}{h} + \frac{f_d}{h} \right) \ln \left(1 + \frac{f_d}{h} \cdot \frac{h}{h_0} \right) \right\} \right]^{1/2} \quad \dots \dots \dots (14) \end{aligned}$$

式(12), (13), (14)の元構成は

$$\frac{u_1}{\sqrt{gh}} = G \left(\frac{\sqrt{g \phi h}}{Q_a}, \frac{B}{h}, \frac{f_d}{h}, \frac{h_0}{h} \right) \quad \dots \dots \dots (15)$$

$$x/h = 1.0$$

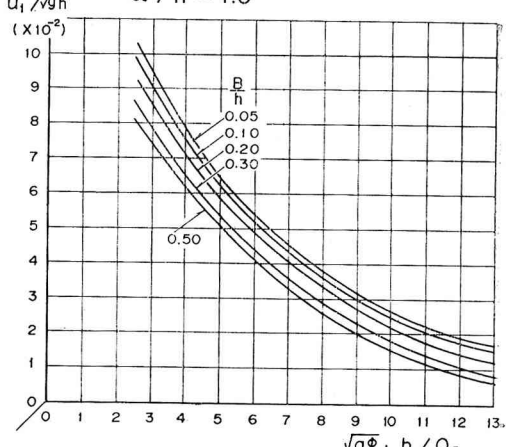


図-17 エアカーテンによる水平流速

